

Pruebas no paramétricas

Notas

Salida creada	05-SEP-2024 12:47:40	
Comentarios		
Entrada	Conjunto de datos activo	ConjuntoDatos20
	Filtro	<ninguno>
	Ponderación	<ninguno>
	Segmentar archivo	<ninguno>
	N de filas en el archivo de datos de trabajo	400
Sintaxis	NPTESTS /RELATED TEST(VSI_BS VSI_KM VSI_MC VSI_WU VSI_OC VSI_VB VSI_NQ) /MISSING SCOPE=ANALYSIS USERMISSING=EXCLUDE /CRITERIA ALPHA=0.05 CILEVEL=95.	
Recursos	Tiempo de procesador	00:00:00,84
	Tiempo transcurrido	00:00:00,85

Resumen de contrastes de hipótesis

	Hipótesis nula	Prueba	Sig. ^{a,b}
1	Las distribuciones de VSI_BS, VSI_KM, VSI_MC, VSI_WU, VSI_OC, VSI_VB y VSI_NQ son iguales.	Prueba de Friedman para muestras relacionadas para análisis de la varianza de dos factores por rangos	,000

Resumen de contrastes de hipótesis

	Decisión
1	Rechace la hipótesis nula.

a. El nivel de significación es de ,050.

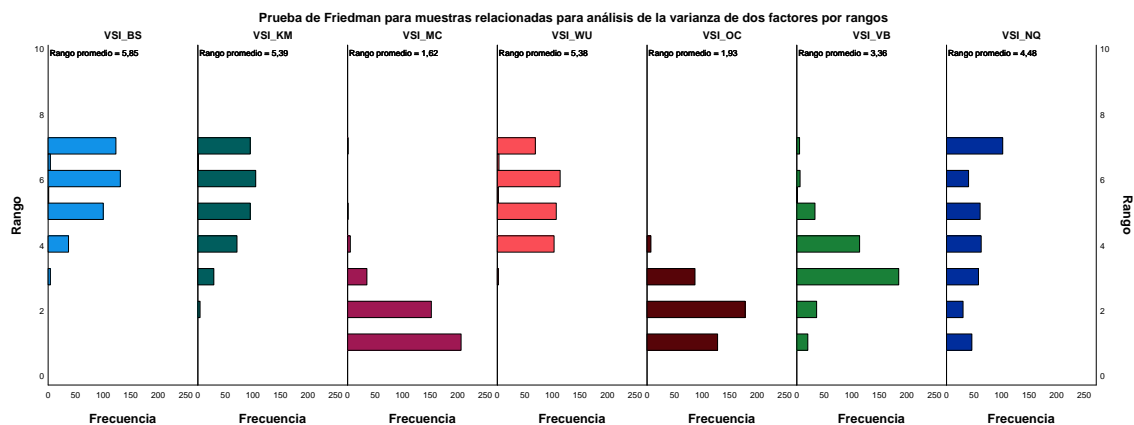
b. Se muestra la significancia asintótica.

Prueba de Friedman para muestras relacionadas para análisis de la varianza de dos factores por rangos

VSI_BS, VSI_KM, VSI_MC, VSI_WU, VSI_OC, VSI_VB, VSI_NQ

Resumen de la prueba de Friedman para muestras relacionadas para análisis de la varianza de dos factores por rangos

N total	400
Estadístico de prueba	1527,956
Grado de libertad	6
Sig. asintótica (prueba bilateral)	,000



Comparaciones por parejas

Sample 1-Sample 2	Estadístico de prueba	Error estándar	Estadístico de prueba estándar	Sig.	Sig. ajust. ^a
VSI_MC-VSI_OC	-,315	,153	-2,062	,039	,823
VSI_MC-VSI_VB	-1,744	,153	-11,416	,000	,000
VSI_MC-VSI_NQ	-2,860	,153	-18,723	,000	,000
VSI_MC-VSI_WU	-3,759	,153	-24,607	,000	,000
VSI_MC-VSI_KM	3,771	,153	24,689	,000	,000
VSI_MC-VSI_BS	4,229	,153	27,684	,000	,000
VSI_OC-VSI_VB	-1,429	,153	-9,353	,000	,000
VSI_OC-VSI_NQ	-2,545	,153	-16,661	,000	,000
VSI_OC-VSI_WU	3,444	,153	22,545	,000	,000
VSI_OC-VSI_KM	3,456	,153	22,626	,000	,000
VSI_OC-VSI_BS	3,914	,153	25,622	,000	,000
VSI_VB-VSI_NQ	-1,116	,153	-7,308	<,001	,000
VSI_VB-VSI_WU	2,015	,153	13,191	,000	,000
VSI_VB-VSI_KM	2,027	,153	13,273	,000	,000
VSI_VB-VSI_BS	2,485	,153	16,268	,000	,000
VSI_NQ-VSI_WU	,899	,153	5,884	<,001	,000
VSI_NQ-VSI_KM	,911	,153	5,966	<,001	,000
VSI_NQ-VSI_BS	1,369	,153	8,961	,000	,000
VSI_WU-VSI_KM	,013	,153	,082	,935	1,000

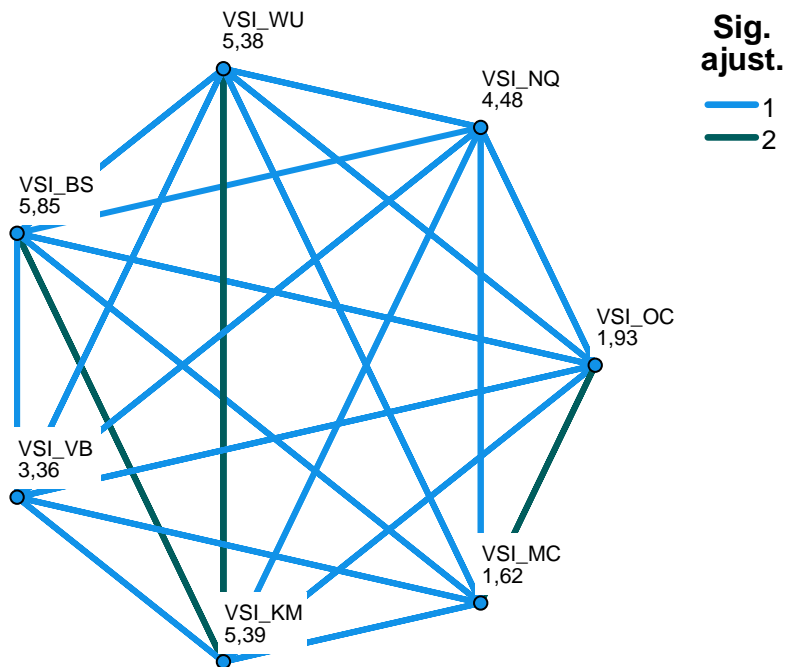
Comparaciones por parejas

Sample 1-Sample 2	Estadístico de prueba	Error estándar	Estadístico de prueba estándar	Sig.	Sig. ajust. ^a
VSI_WU-VSI_BS	,470	,153	3,077	,002	,044
VSI_KM-VSI_BS	,458	,153	2,995	,003	,058

Cada fila prueba la hipótesis nula que las distribuciones de la Muestra 1 y la Muestra 2 son iguales. Se visualizan las significaciones asintóticas (pruebas bilaterales). El nivel de significación es de ,050.

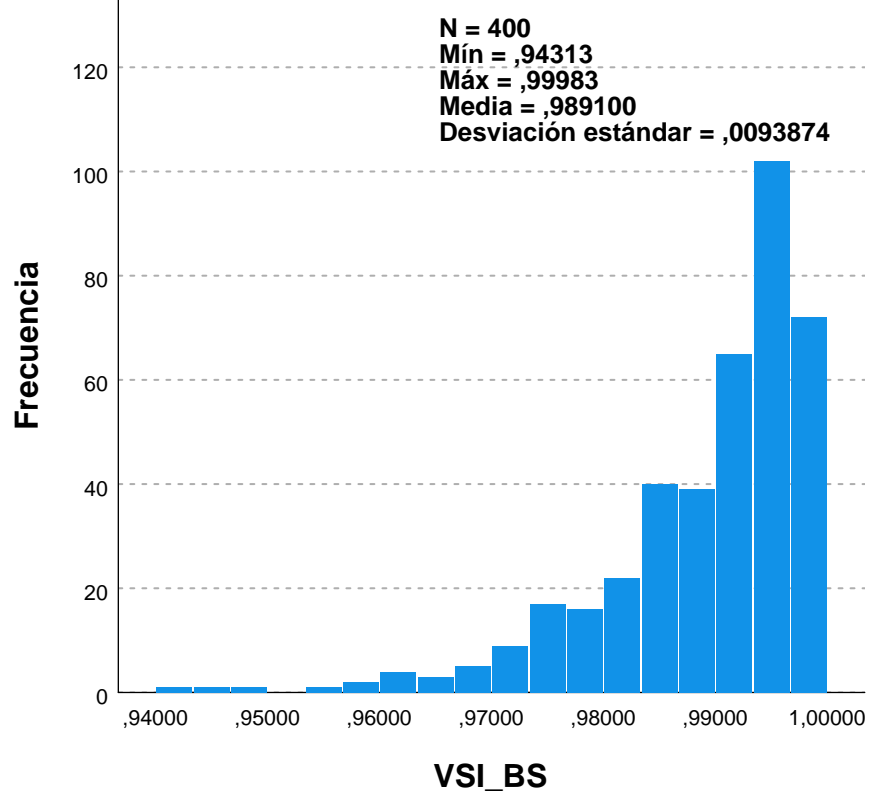
- a. Los valores de significación se han ajustado mediante la corrección Bonferroni para varias pruebas.

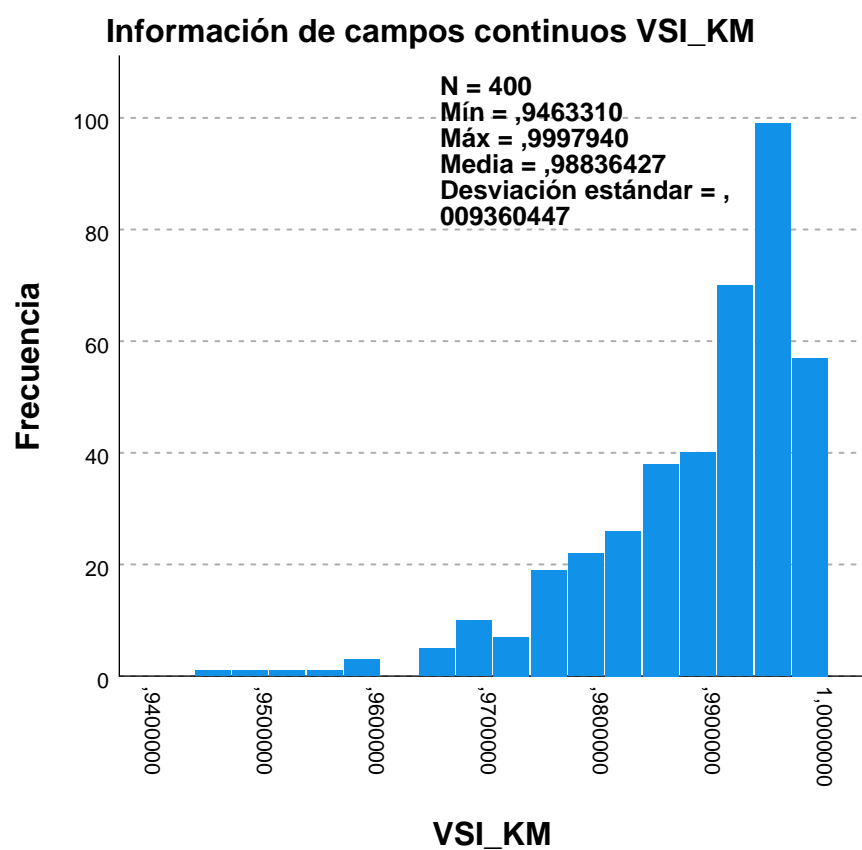
Comparaciones por parejas



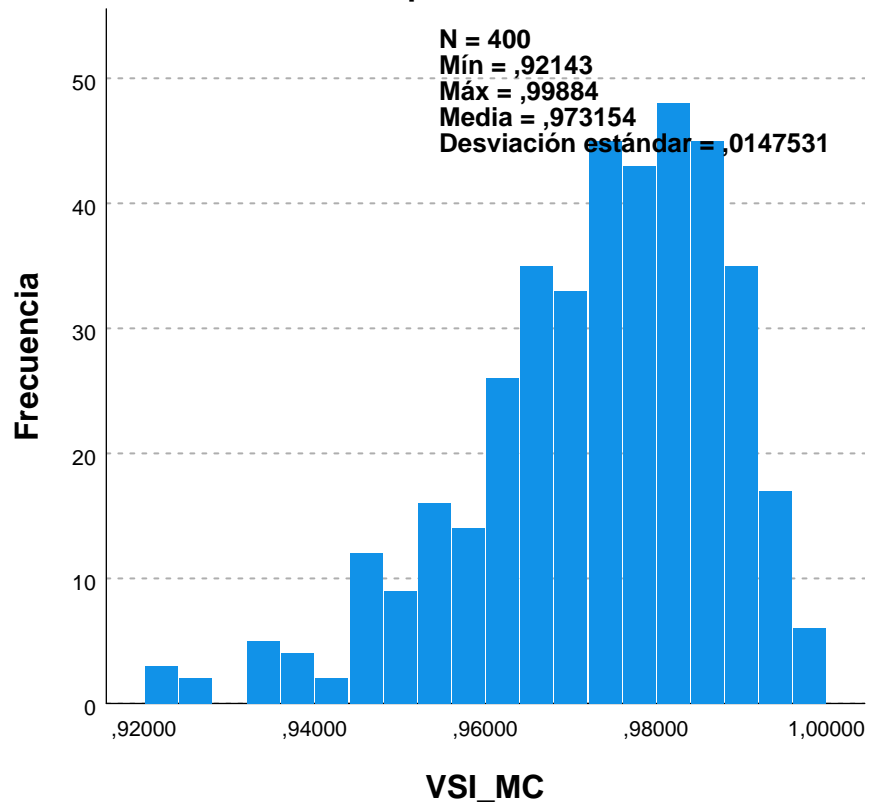
Cada nodo muestra en número de muestra de éxitos.

Información de campos continuos VSI_BS

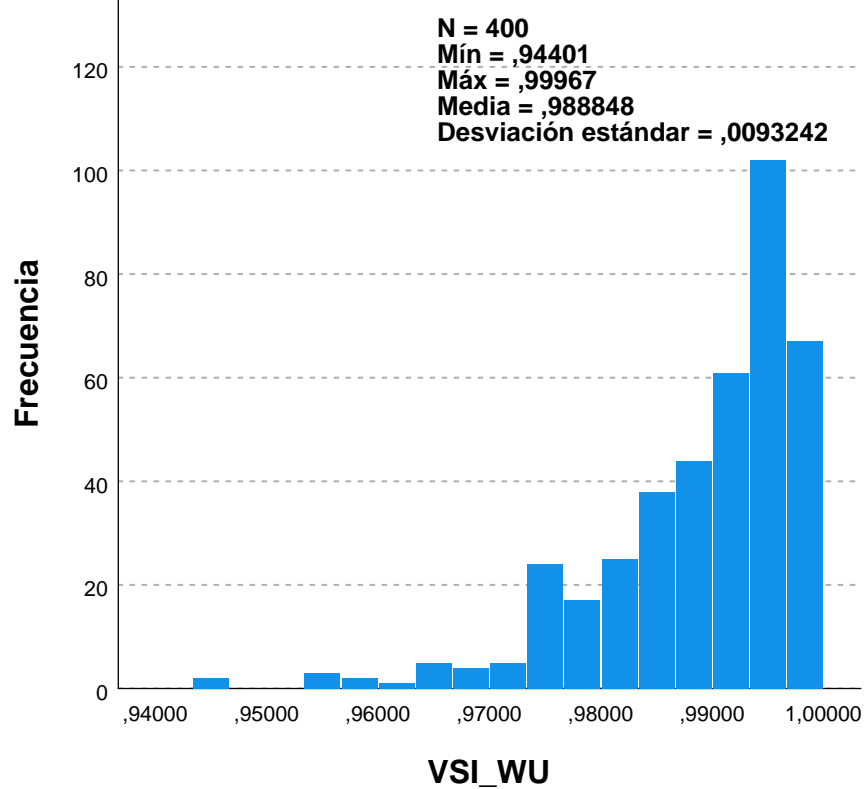




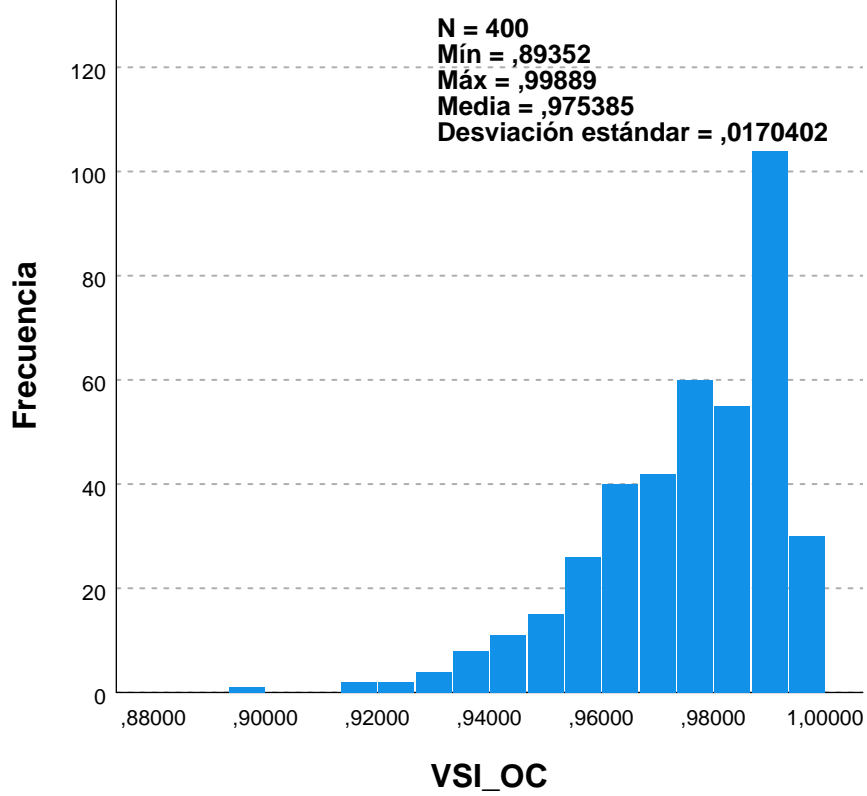
Información de campos continuos VSI_MC



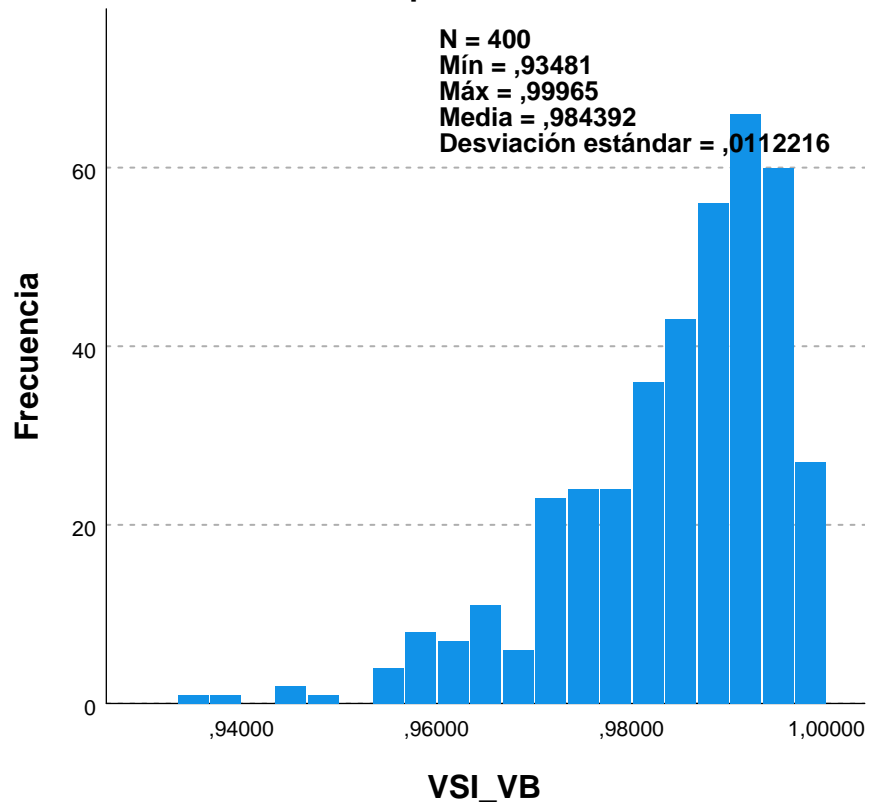
Información de campos continuos VSI_WU



Información de campos continuos VSI_OC



Información de campos continuos VSI_VB



Información de campos continuos VSI_NQ

